

В. И. КРАВЧЕНКО, А. А. СМИРНОВ, М. С. СОСКИН

ЛАЗЕР НА РАСТВОРЕ РОДАМИНА бж С ПОВЫШЕННОЙ  
СПЕКТРАЛЬНОЙ ЯРКОСТЬЮ И ПЕРЕСТРАИВАЕМОЙ ЧАСТОТОЙ

(Представлено академиком А. М. Прохоровым 26 XII 1969)

С помощью новой эффективной схемы продольной лазерной накачки в призменном дисперсионном резонаторе получено перестраиваемое вынужденное излучение раствора родамина бж с повышенной спектральной яркостью и близким к теоретическому коэффициентом преобразования. Показано, что в этих условиях генерация с минимальным порогом подавляет генерацию на других частотах в пределах всей полосы люминесценции.

1. Известно, что продольный вариант накачки предпочтительнее как с точки зрения эффективности преобразования, так и для управления спектром генерации с помощью дисперсионных резонаторов. До настоящего времени строго продольная накачка осуществлялась сквозь селективные зеркала резонатора или через ненапыленные прозрачные пластинки<sup>(1), (2)</sup>. Оба способа приводят к большим потерям, связанным с разрушением зеркал или с разделением пучков накачки и генерации. Принципиальным отличием нашей схемы является введение накачки в кювету с жидкостью мимо выходного зеркала через дисперсионную призму так, что пучки накачки и генерации полностью совмещены в активной среде (рис. 1a)\*.

Раствор родамина бж в изоамиловом спирте (концентрация  $10^{16} \text{ см}^{-3}$ ) накачивался излучением с частотой  $v_n = 18\ 900 \text{ см}^{-1}$  и плотностью  $\sim 30 \text{ Мвт/см}^2$ . Перестройка частоты генерации в пределах  $16\ 400 - 17\ 850 \text{ см}^{-1}$  осуществлялась поворотом плоско-параллельной стеклянной пластины, служившей выходным зеркалом резонатора. Излучение накачки и генерации падало на торцы кюветы и грани призмы под углами Брюстера, что обеспечивало минимальные потери. При работе на частоте  $v_g \approx 17\ 500 \text{ см}^{-1}$  к.п.д. генерации составлял  $\sim 70\%$ , что является рекордным для перестраиваемых ОКГ на растворах органических красителей.

Как известно, в пренебрежении реабсорбцией к.п.д. лазера определяется выражением

$$k = \frac{E_g}{E_h} \approx \frac{\gamma_p}{\gamma_p + \gamma_{bp}} \cdot \frac{\nu_g}{\nu_h} \eta \left( 1 - \frac{E_{\text{пор}}}{E_h} \right), \quad (1)$$

\* Данная схема накачки представляется перспективной для параметрических перестраиваемых генераторов, лазеров на ВКР и т. п.

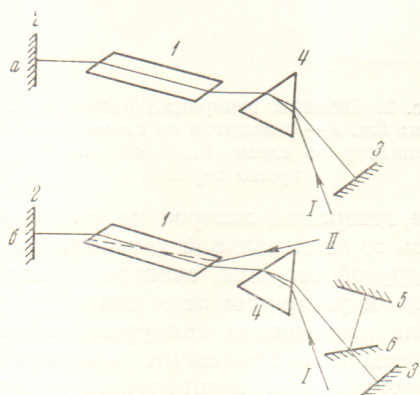


Рис. 1. а — схема дисперсионного резонатора со строго продольной лазерной накачкой; б — схема дисперсионного резонатора, одновременно настроенного на три частоты. 1 — кювета с активной жидкостью, 2, 3, 5, 6 — зеркала, 4 — дисперсионная призма. I и II — соответственно направление пучков при строго и нестрогом продольной накачке

пластины, служившей выходным зеркалом резонатора. Излучение накачки и генерации падало на торцы кюветы и грани призмы под углами Брюстера, что обеспечивало минимальные потери. При работе на частоте  $v_g \approx 17\ 500 \text{ см}^{-1}$  к.п.д. генерации составлял  $\sim 70\%$ , что является рекордным для перестраиваемых ОКГ на растворах органических красителей.

Как известно, в пренебрежении реабсорбцией к.п.д. лазера определяется выражением

$$k = \frac{E_g}{E_h} \approx \frac{\gamma_p}{\gamma_p + \gamma_{bp}} \cdot \frac{\nu_g}{\nu_h} \eta \left( 1 - \frac{E_{\text{пор}}}{E_h} \right), \quad (1)$$

где  $E_g$ ,  $E_n$  и  $E_{\text{пор}}$  — соответственно энергия генерации, накачки и пороговой накачки;  $\gamma_p$  и  $\gamma_{\text{вр}}$  — коэффициенты полезных и вредных потерь;  $\eta$  — квантовый выход люминесценции;  $v_n$  и  $v_g$  — соответственно частоты накачки и генерации. Для родамина  $\beta$   $\eta = 0,98$  и  $v_g/v_n \leq 0,91$ . Поэтому предельно достижимый к.п.д. ( $\gamma_p \gg \gamma_{\text{вр}}$ ,  $E_n \gg E_{\text{пор}}$ ) должен составлять  $\sim 90\%$ . В наших экспериментах  $E_n/E_{\text{пор}} \leq 10$ , т. е. в соответствии с (1) должно быть  $k \leq 80\%$ . Близость экспериментально наблюдаемого и расчетного коэффициентов преобразования свидетельствует об эффективности системы накачки и малости вредных потерь.

Ширина спектра генерации во всем диапазоне перестройки не превышала  $10\text{\AA}$  и определялась в основном угловой дисперсией призмы <sup>(3)</sup>. При этом спектральная мощность лазера, являющаяся его важнейшей характеристикой, составляла  $\sim 3 \text{ Мвт}/\text{см}^2 \cdot \text{\AA}$ , что на порядок выше, чем в случае ОКГ с неселективными резонаторами.

2. В ряде работ большая ширина и сложная структура спектр-

Рис. 2. Спектры генерации раствора родамина  $\beta$ . *a* — резонатор по схеме 1 $a$ ; *b*, *c* — резонатор по схеме 1 $b$ . В случае *b'* закрыто зеркало 3

ров генерации лазеров на растворах органических красителей связывалась со спектральной неоднородностью рабочих полос люминесценции <sup>(4)</sup>. С другой стороны, спектроскопические данные свидетельствуют об однородном уширении этих полос <sup>(5)</sup>. Для разрешения этого противоречия была исследована конкуренция генерации на отдельных частотах внутри полосы люминесценции родамина  $\beta$  при различных условиях накачки. Использовался специальный дисперсионный резонатор, который обеспечивал повышенную добротность для двух частот <sup>\*</sup>, определяемых угловым положением зеркал 3 и 4 (рис. 1 $b$ ). Пороги генерации на этих частотах можно было изменять, варьируя прозрачность зеркал или их наклон. Опыт состоял в том, что сначала поочередно закрывались зеркала 3 и 5 и фиксировалась раздельная генерация на частотах  $v_1$  и  $v_2$  (рис. 2 *a*, *b*), а затем открывались оба зеркала и исследовался спектр генерации в сложном резонаторе.

Оказалось, что при строгой продольной накачке генерация на участке частот с более низким порогом ( $v_1$  на рис. 2) полностью подавляет генерацию на других частотах, где еще возможна раздельная генерация, в интервале порядка  $1400 \text{ см}^{-1}$ . Одновременно практически полностью подавляется широкополосное салатовое излучение <sup>(3)</sup>, которое происходит на частотах в области максимума кривой усиления. Аналогичный результат был получен при генерации раствора родамина  $\beta$ .

При создании угла между пучками накачки и генерации эффект подавления ослабляется и генерация происходит на всех частотах настройки резонатора (рис. 2*c*). Чувствительность спектров генерации к нарушению строгой продольности накачки наиболее высока при хорошо выраженной нитевидной структуре пучка накачки.

\* Более строгое рассмотрение такого резонатора показывает, что повышенной добротностью обладают не только частоты  $v_1$  и  $v_2$ , но и частота  $v_3 = (v_1 + v_2)/2$ .

Полученные результаты позволяют утверждать, что полосы люминесценции органических красителей в согласии со спектроскопическими данными являются однородно уширенными с более быстрым временем попечерной релаксации по сравнению со скоростью генерационных процессов. Возникновение же многочастотной генерации определяется чисто лазерными механизмами и, в первую очередь пространственной неоднородностью поля накачки и генерации. Ее устранение позволит еще более повысить к.п.д. и спектральную яркость генерации.

Институт физики  
Академии наук УССР  
Киев

Поступило  
26 XII 1969

#### ЦИТИРОВАННАЯ ЛИТЕРАТУРА

- <sup>1</sup> Б. И. Степанов, Журн. прикл. спектроскопии, 9, в. 2 (1968). <sup>2</sup> Н. А. Борисевич, В. В. Грузинский и др., Там же, 11, 173 (1969). <sup>3</sup> В. И. Кравченко, О. Н. Погорелый и др., Там же, 11, 796 (1969). <sup>4</sup> M. Bass, G. Steinfield, IEEE J. Quant. Electr., 4, 53 (1968). <sup>5</sup> Б. И. Степанов, А. Н. Рубинов, УФН, 95, 45 (1968).